

Combustion assistée par plasma :

Du challenge de la mesure de température en combustion turbulente à un diagnostic pertinent pour les décharges nanosecondes

Armelle Cessou, CORIA UMR 6614 , Rouen

GDR EMILI – 25 octobre 2023 - Nancy



REMERCIEMENTS

Une illustration puissant dans de nombreuses collaborations

G. Cléon, A. Lo, P. Vervisch, H. Ajrouche, F. Guichard, B. Lecordier, L. Lacour, D. Honoré, P. Tardiveau, A. Brisset



EXFIDIS, FAMAC, PASTEC



BIOENGINE project, co-financed by the European Union with the European regional development fund (ERDF) and by the Normandy Regional Council

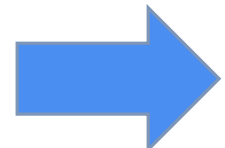


INTRODUCTION

Illustrer l'intérêt du croisement des disciplines

Une opportunité : la combustion assistée par plasma

Un diagnostic d'une discipline à l'autre



La Diffusion Raman
Spontanée

COMBUSTION ET TRANSITION ENERGETIQUE

Les enjeux : une combustion neutre en carbone, efficace, propre et sûr

 Emission CO₂, émission Nox, stabilité des flammes, allumage

Combustion encore 84% de la production d'énergie : la transition est une phase clé

Combustion neutre en carbone = combustion « défossilisée »,
orientée vers de nouveaux vecteurs énergétiques issues des EnR, capturer le CO₂

Focus : sur les mobilités lourdes, le transport aérien, les industries fortes émettrices en CO₂

COMBUSTION ASSISTÉE PAR PLASMA

Flame stabilization

- Steady phenomenon
- Specificity: low energy addition
 - Few % of flame power

Ignition

- Single event
- Enlarge the flammability domain
 - highly diluted reactants,
 - high-pressure conditions,
 - re-ignition under various thermodynamic conditions

- combined production of
 - Reactive species, radicals
 - Heat with non-equilibrium effect

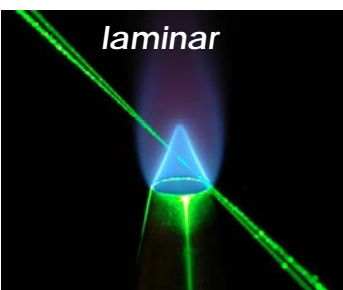


affect combustion
chemical kinetics

CARACTÉRISER LA COMBUSTION TURBULENTE

What do we want to characterize?

- High temperature reactive flows
- Chemical reaction
- Burning velocity...
- Mass transfer, mixing
- Heat transfer



What difficulties?

Gas



High temperature

Luminous medium

Reactive flows:

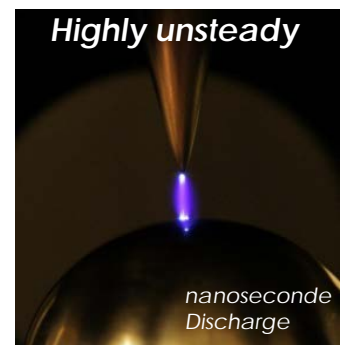
Numerous species

Small time scale:

Time resolution < 1µs

Sharp gradients:

Spatial resolution ~100µm



3D phenomenon

Numerous interactions

COMBUSTION TURBULENT ET MESURE DE TEMPÉRATURE ?

Flamme : milieu hostile mais fragile

Flamme turbulente : milieu hétérogène, instationnaire (même si stationnaire en moyenne souvent)

milieu hétérogène : fort gradient, résolution spatiale ~100µm, résolution temporelle <1µs

mesure locale -> ~~Absorption~~

mesure instantanée (< 1µs) -> HF où beaucoup d'hypothèses sur incertitude en fonction de T, sur l'influence du quenching

ATTRAIT DE LA DIFFUSION RAMAN SPONTANÉE



Diffusion de la lumière

- o Quelque soit la longueur d'onde du laser
mais plus efficace avec les courtes longueurs d'onde



Toutes les espèces présentes dans le volume de mesure diffusent la lumière :
mesures multi-espèces

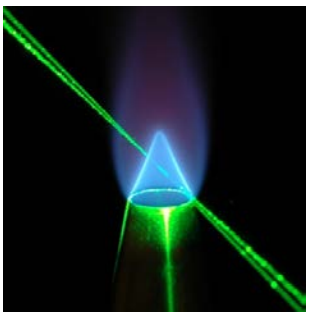


Un rayonnement très faible limitant ses champs d'application depuis sa découverte

section efficace caractéristique $10^{-30} \text{ cm}^2/\text{sr}$
à comparer à l'absorption/LIF : $10^{-18} \text{ cm}^2/\text{sr}$

DRS : UN CHALLENGE EN COMBUSTION TURBULENTE

in flames



Gas

Low density
High temperature
Lower density
Reacting flow
Numerous species
Parasitic flame emission
LIF interferences

In turbulent flames



Diffusion Raman Scattering

Energetic pulsed laser
w/o optical breakdown
Window damage
Nonlinear phenomena

1D: imaging spectrograph

High throughput of the collection system

High efficiency of the detector

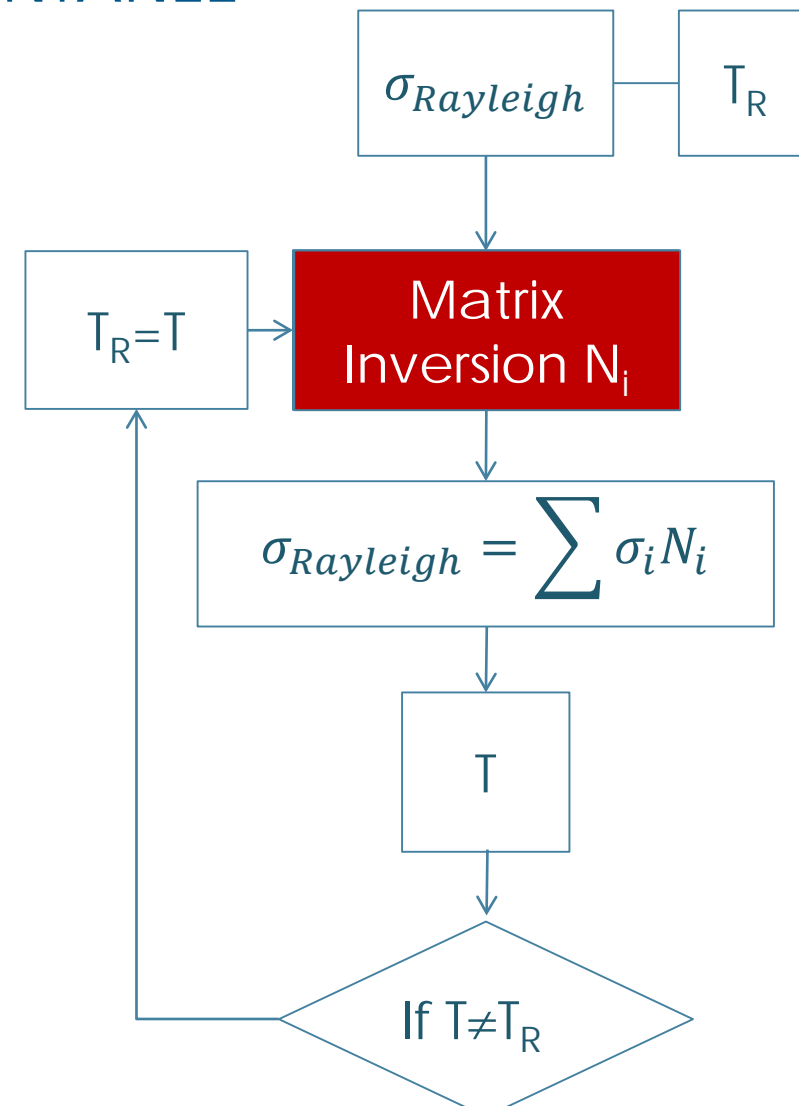
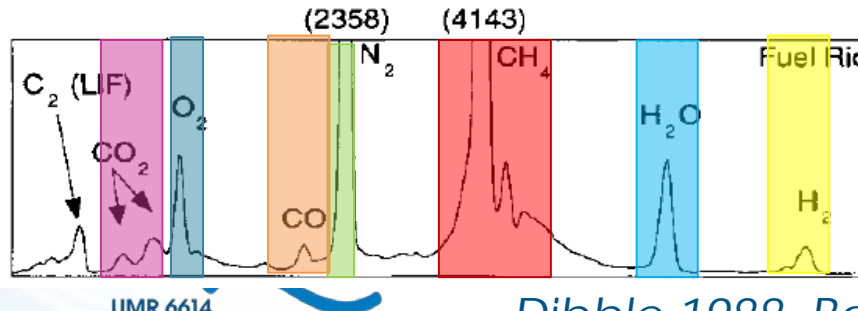
Fast gating

MESURE DE T PAR DIFFUSION RAMAN SPONTANÉE

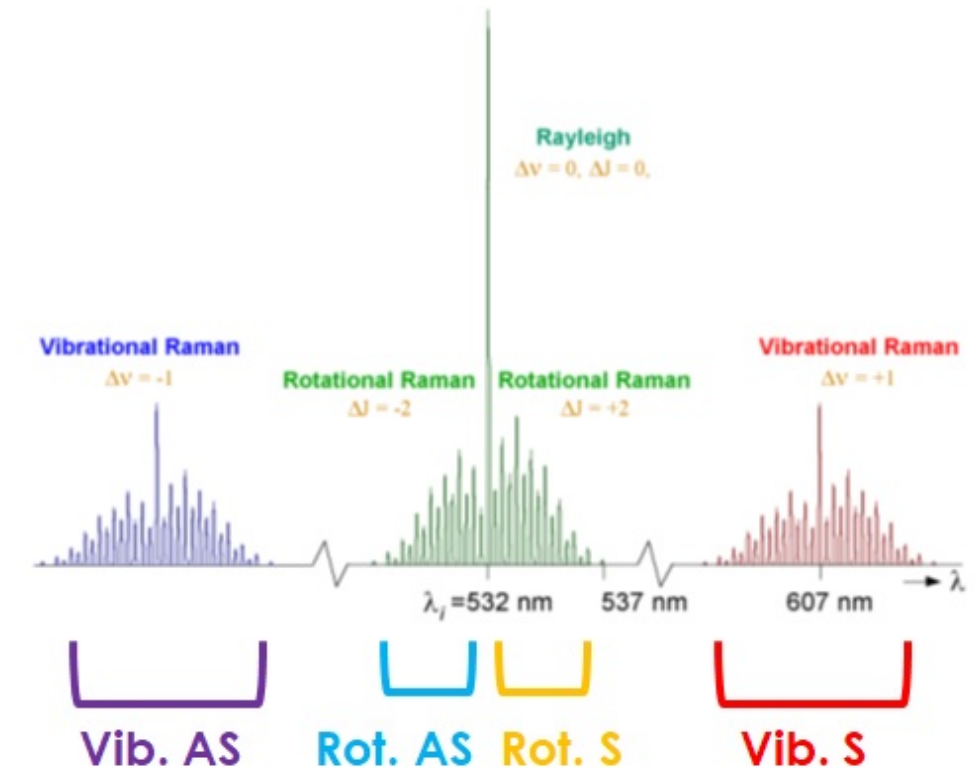
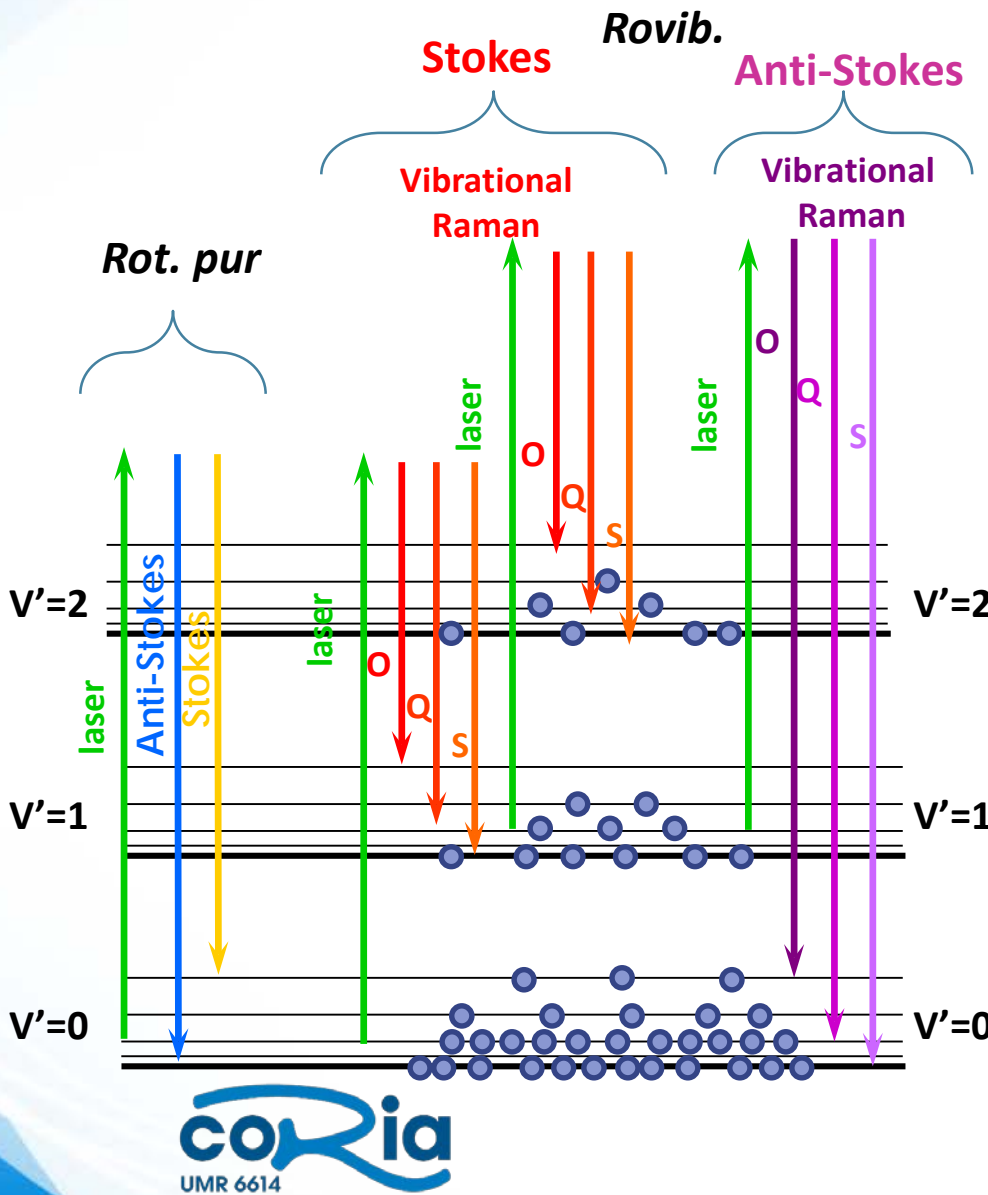
Dès 1972, proposition de mesurer T par ajustement de spectre

M. Lapp, et al, Science, 175 (1972) 1112

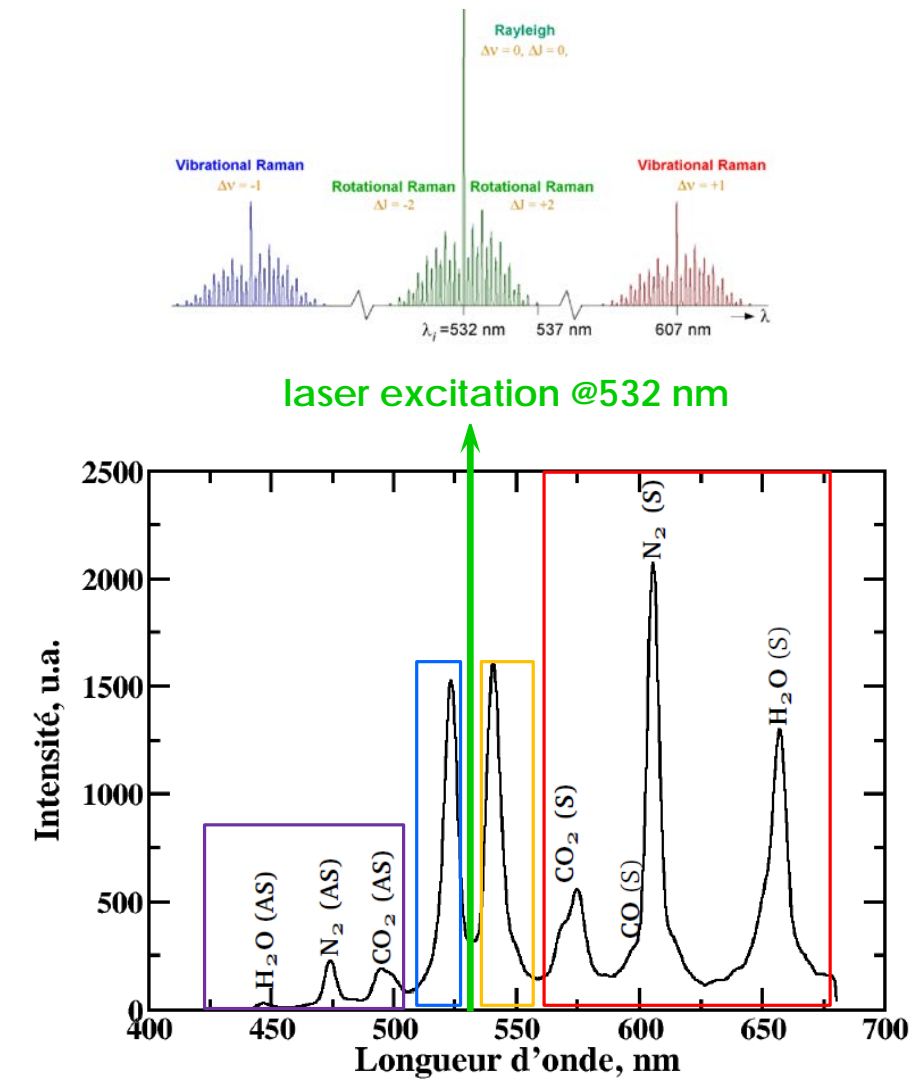
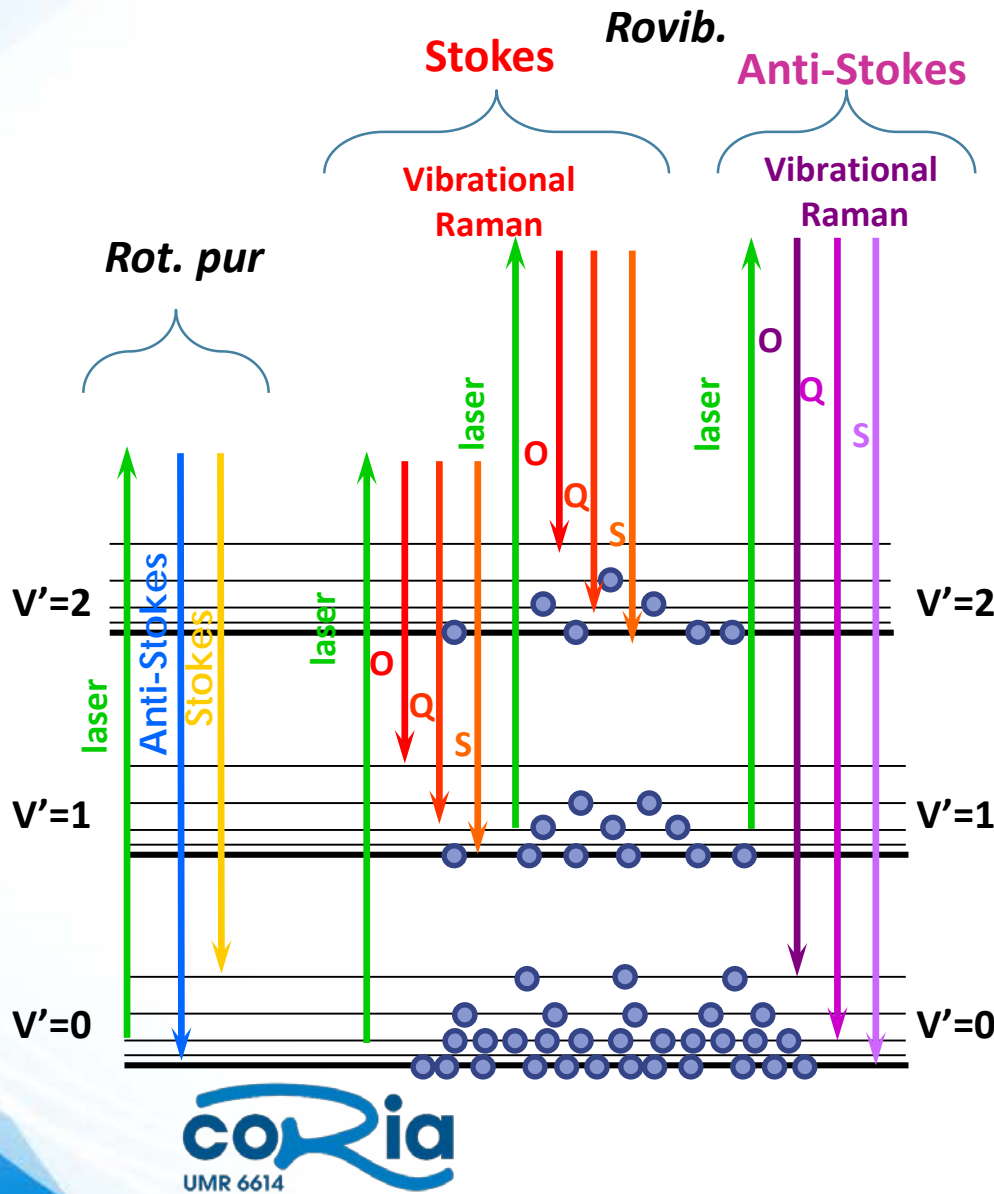
- Mais trop peu de signal pour les flammes turbulentes :
 - temps exposition court,
 - faible volume de mesure
- En 1988, une proposition sans ajustement de spectres : Rayleigh-Raman



PRINCIPE DE LA DIFFUSION RAMAN : BREF RAPPEL

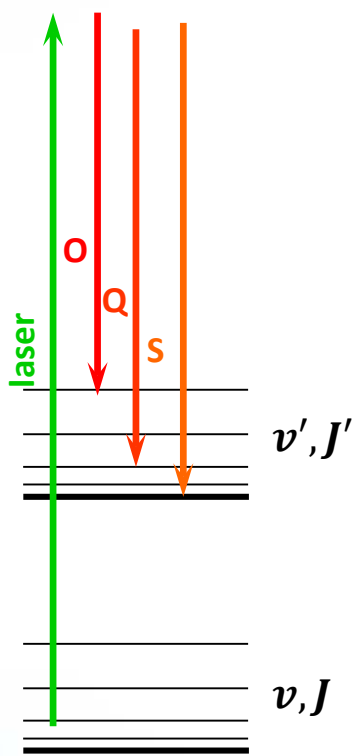


PRINCIPE DE LA DIFFUSION RAMAN : BREF RAPPEL



AJUSTEMENT SPECTRAL

excitation



- Transition moment from (v, J) to (v', J')

$$\vec{P} = \varepsilon_0 \langle v, J | \vec{p} | v', J' \rangle = \varepsilon_0 \langle v, J | \alpha | v', J' \rangle \vec{E}$$

- Cross section

$$\left(\frac{\partial \sigma}{\partial \Omega} \right)_{v, J \rightarrow v', J'} = \pi^2 (\omega_0 - \Delta \omega_{v, J \rightarrow v', J'})^4 \langle v, J | \alpha | v', J' \rangle^2$$

- $[\alpha] = [\alpha_0] + \left(\frac{\partial [\alpha]}{\partial Q} \right)_0 Q$

$$I_{v, J \rightarrow v', J'}^\Omega = \Lambda V \left(\frac{\partial \sigma}{\partial \Omega} \right)_{v, J \rightarrow v', J'} N_{v, J} I_0$$

Laser irradiance

Density number

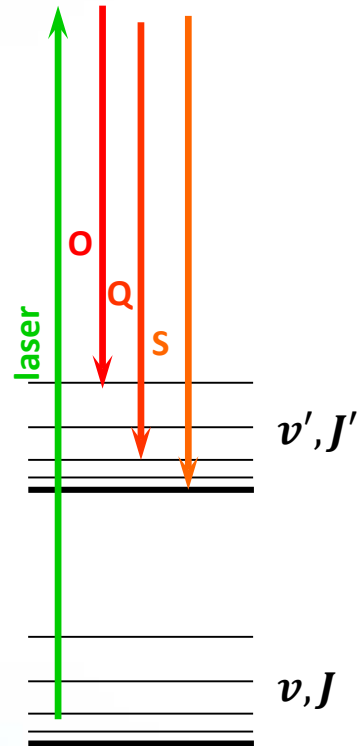
Cross section (molecules, laser choice)

Probe volume

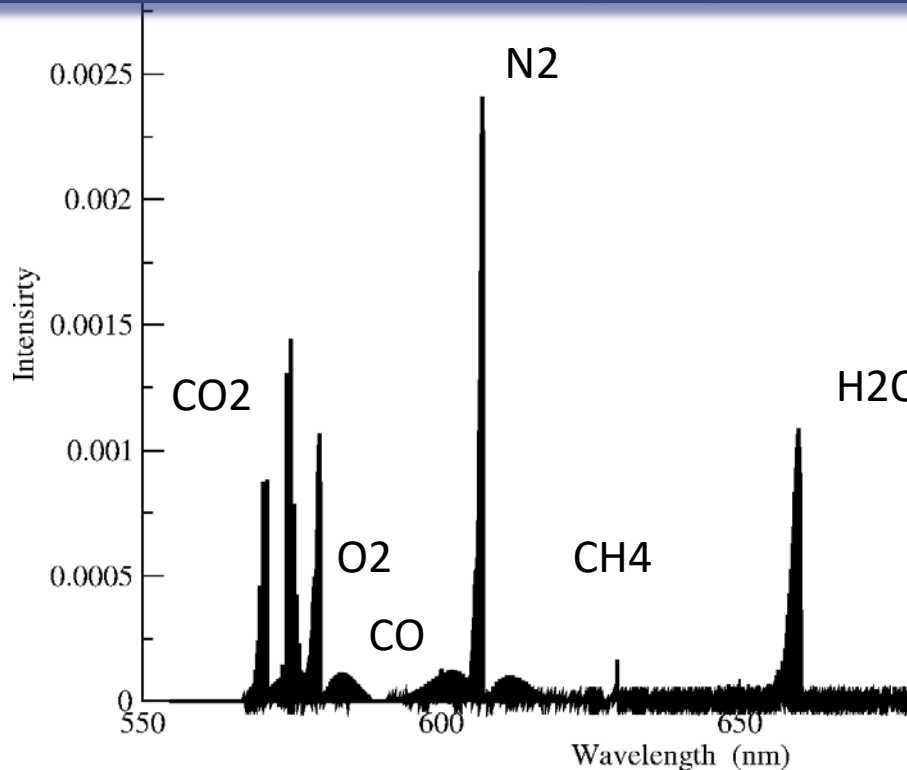
Collection system efficiency

AJUSTEMENT SPECTRAL

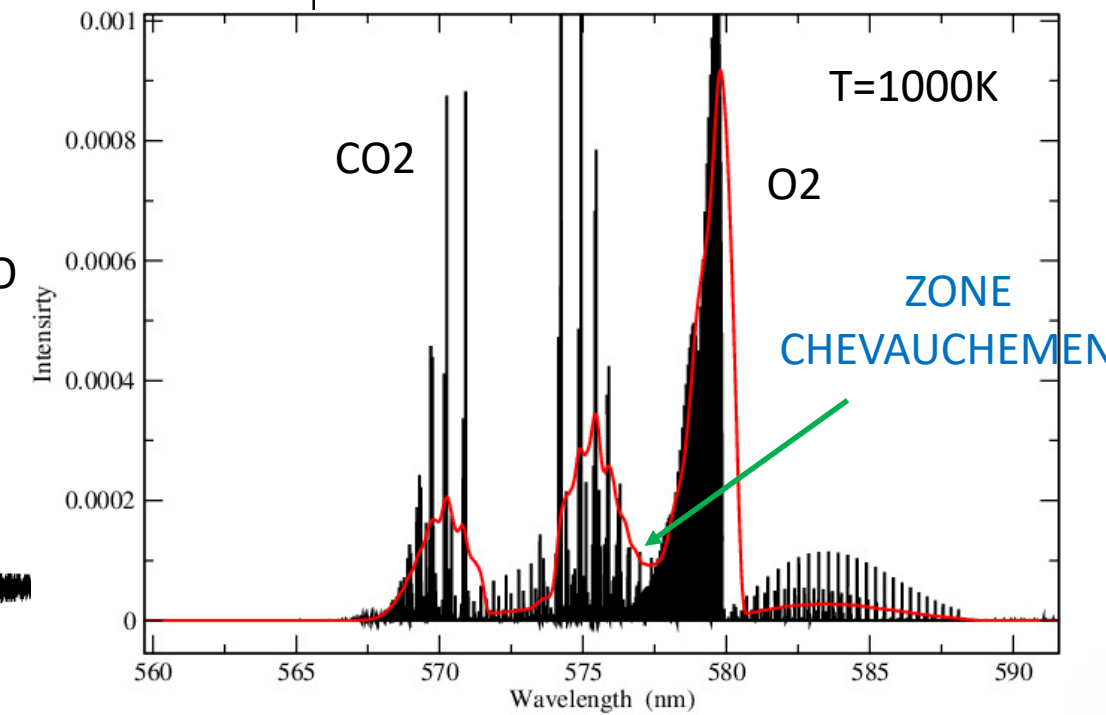
excitation



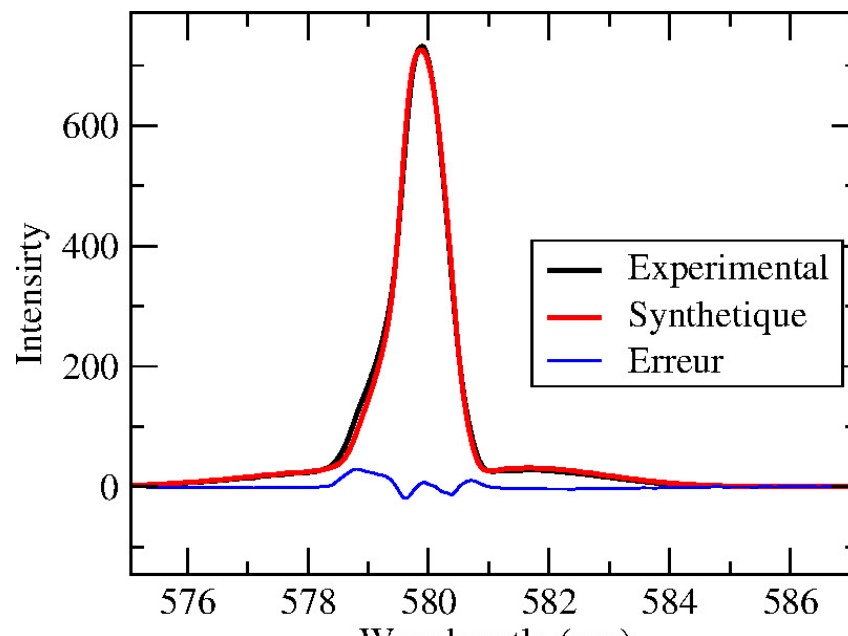
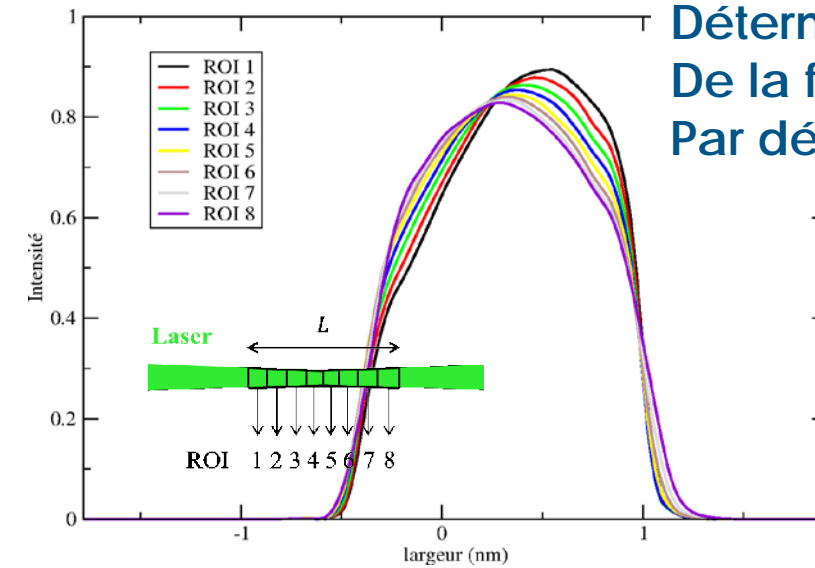
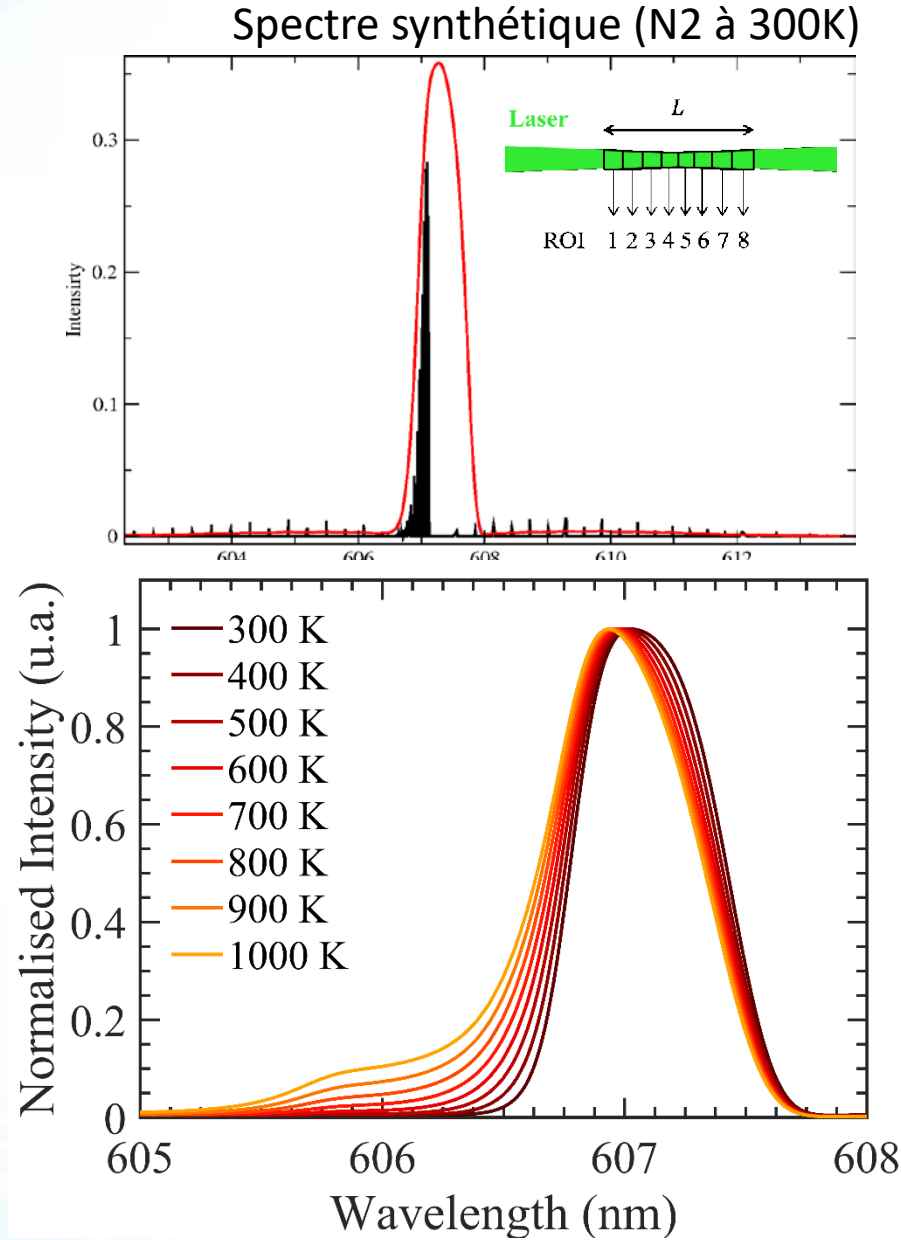
$$I_{v,J \rightarrow v',J'}^{\Omega} = \Lambda V \left(\frac{\partial \sigma}{\partial \Omega} \right)_{v,J \rightarrow v',J'} N_{v,J} I_0$$



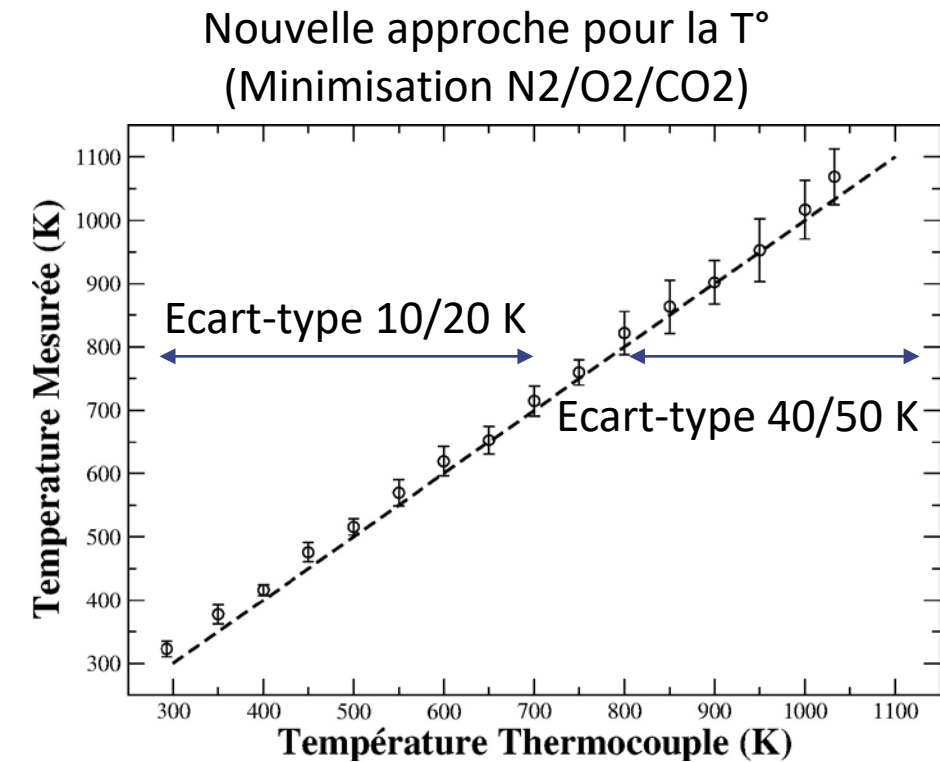
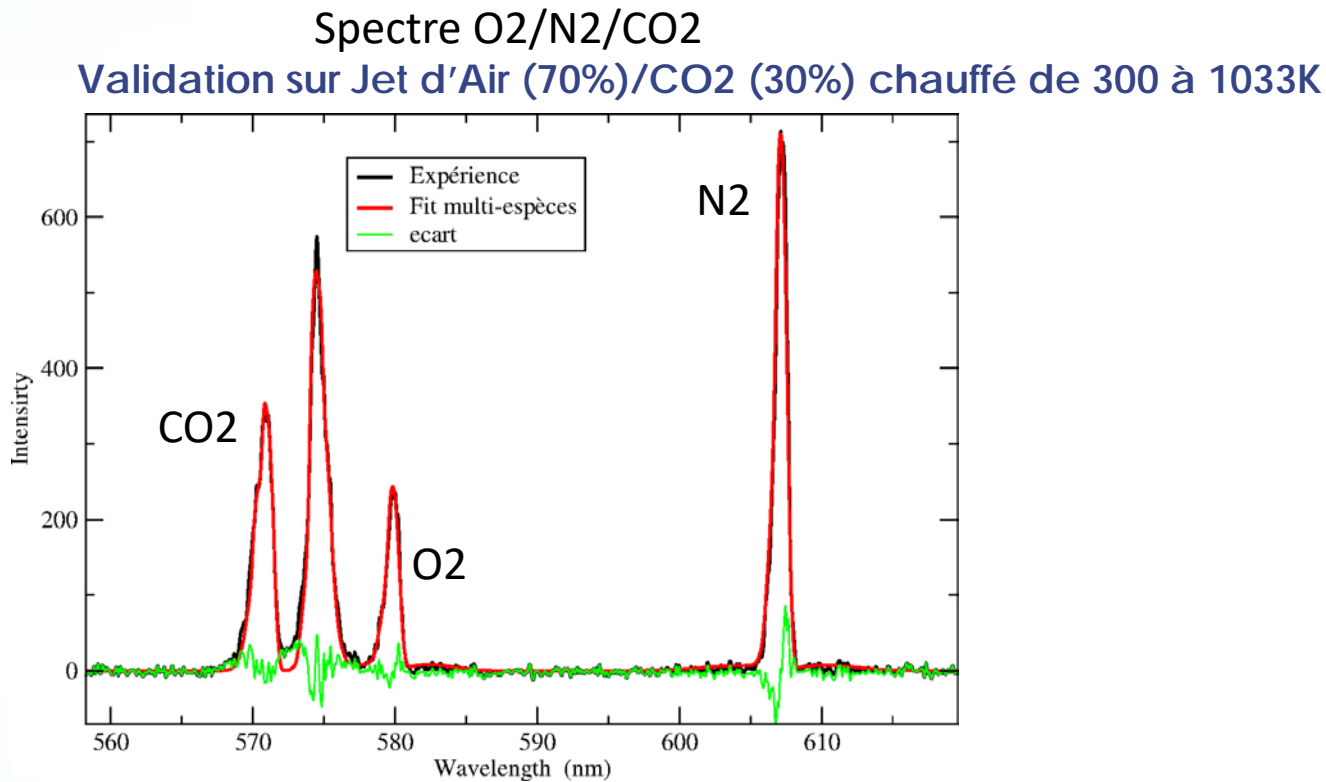
T=1000K



TEMPÉRATURE MALGRÉ UNE FAIBLE RÉSOLUTION SPECTRALE

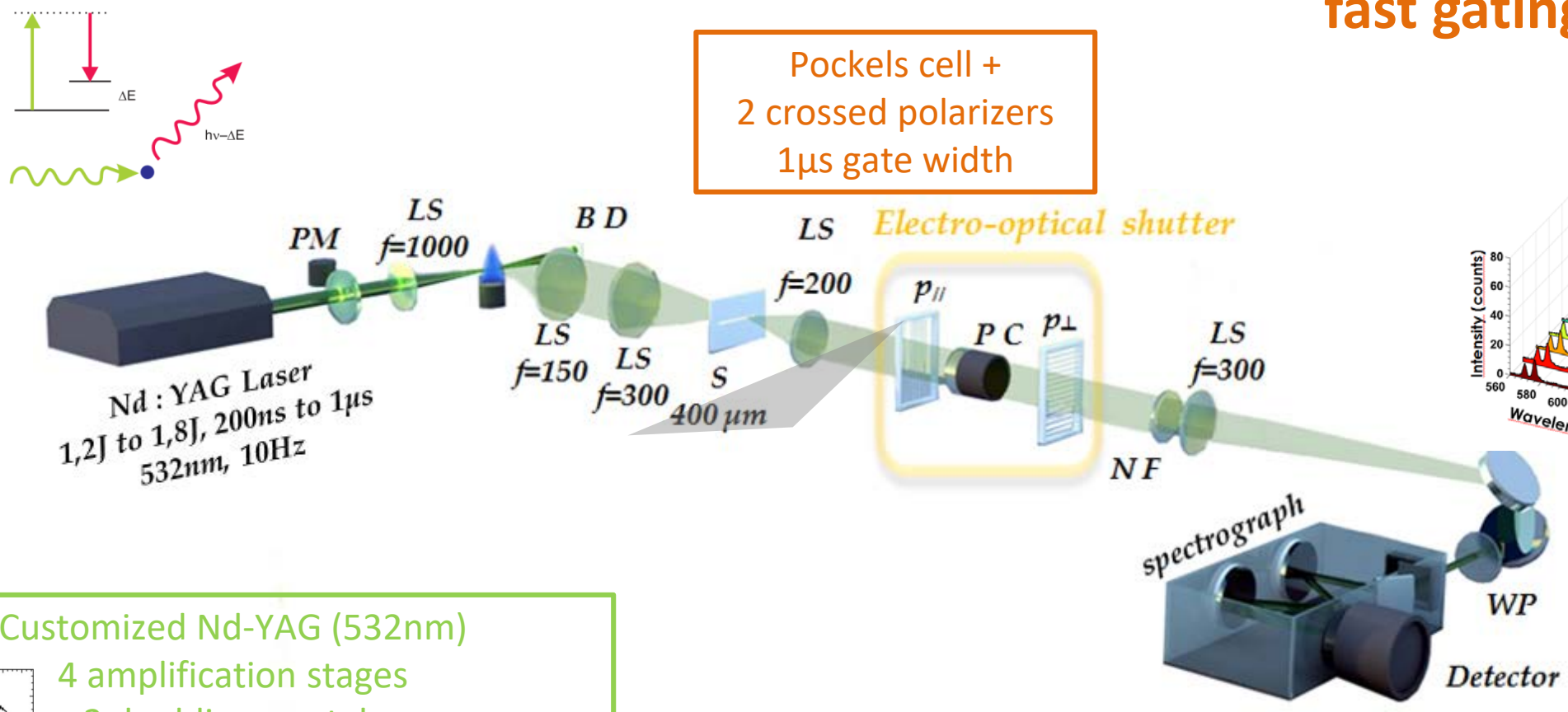


MESURE A BASSE TEMPÉRATURE



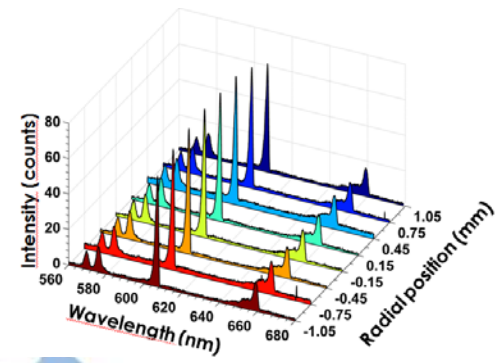
DISPOSITIF EXPÉRIMENTAL

Need high energy pulse,
sensitive detection and
fast gating



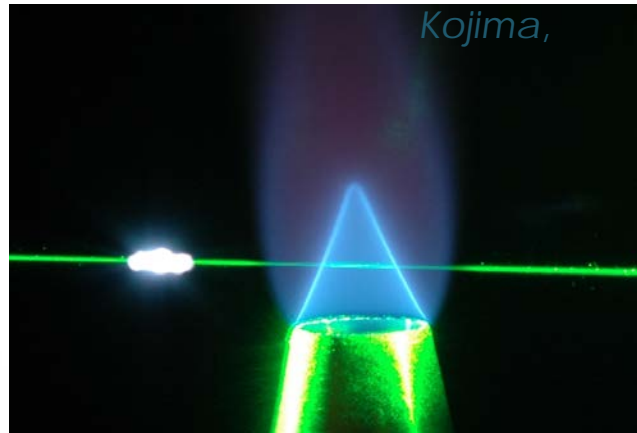
Customized Nd-YAG (532nm)
4 amplification stages
2 doubling crystals
1,8J for 1μs at 10 Hz

Achromat lenses of large aperture
Efficient imaging spectrograph
Ultra-sensitive BI-CCD



LE CHOIX DU LASER

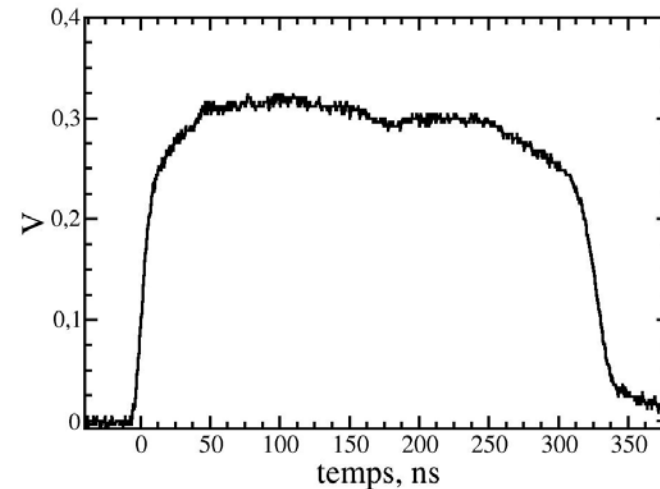
- Minimum energy required for single-shot measurement : 1 Joule (Meier, 2002)
 - Window damage
 - Non-linear effects
 - Optical breakdown, stimulated Raman scattering
 - Laser pulse stretching
 - Maximal irradiance: 35 GW/cm² (Cléon, 2007)



Dye laser , 2μs, 1J x 2 (mirror) Dibble et al.(1990)

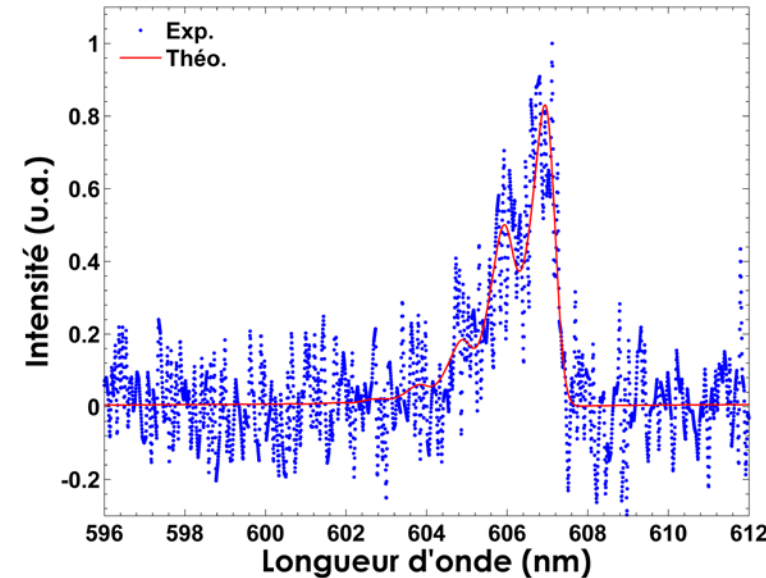
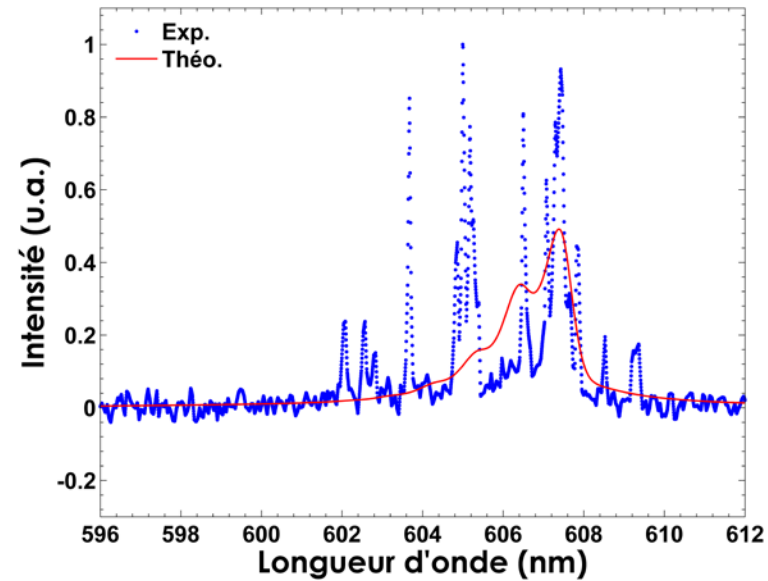
Pulse stretcher, 400 ns, 1.6J Magnotti et al (2014)

Long pulse laser, 300 ns-1μs, 1.8J Guichard et al. (2018),



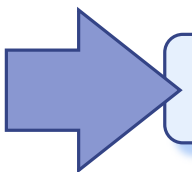
LE CHOIX DU DETECTEUR

- **ICCD camera**
 - Fast gating (~1ns)
 - High shot noise
- **Back-illuminated CCD camera**
 - Very high quantum efficiency (QE>80%)
 - Low noise
 - Very high detectability
 - But full-frame architecture

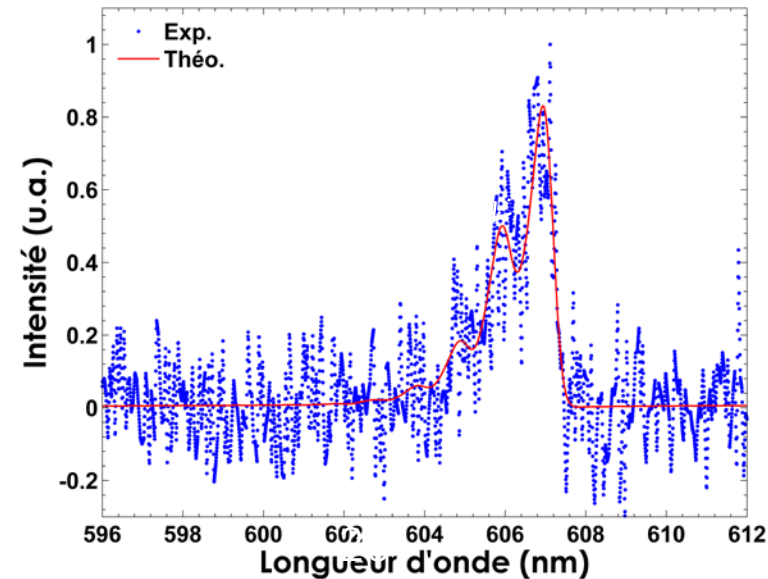
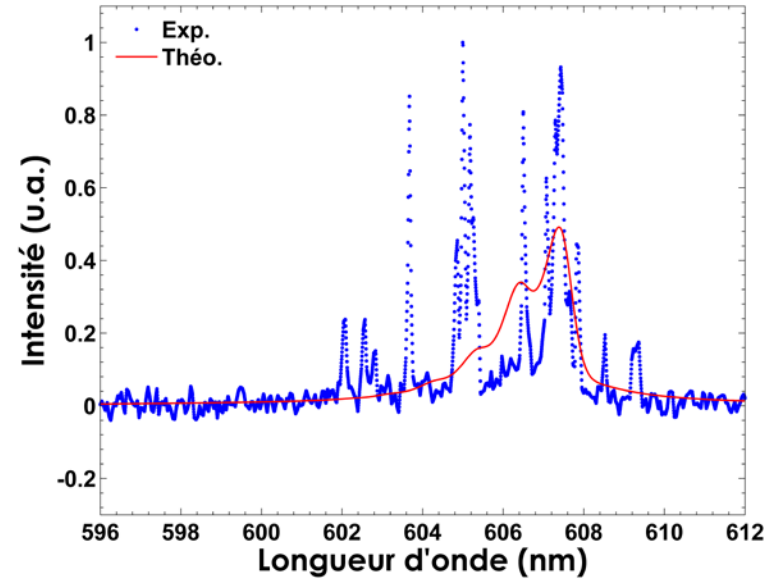


Instantaneous measurement in flames: detector choice

- ICCD camera
 - Fast gating (~1ns)
 - High shot noise
- Back-illuminated CCD camera
 - Very high quantum efficiency (QE>80%)
 - Low noise
 - Very high detectability
 - But full-frame architecture

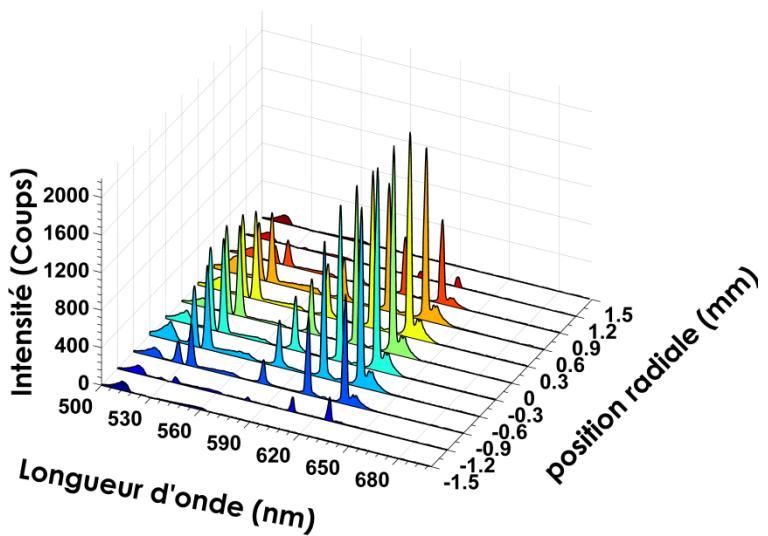
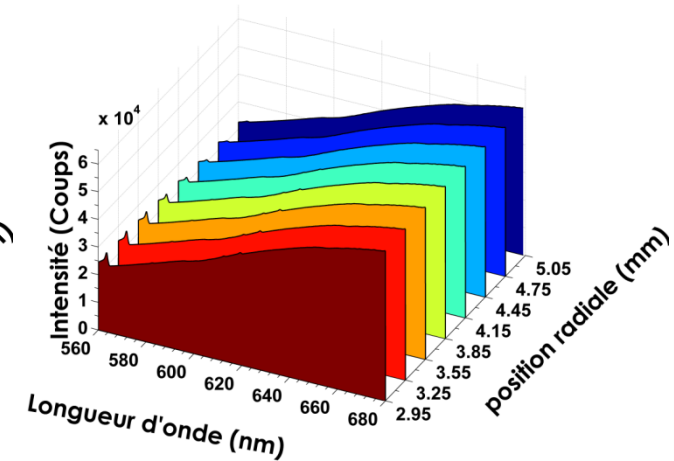
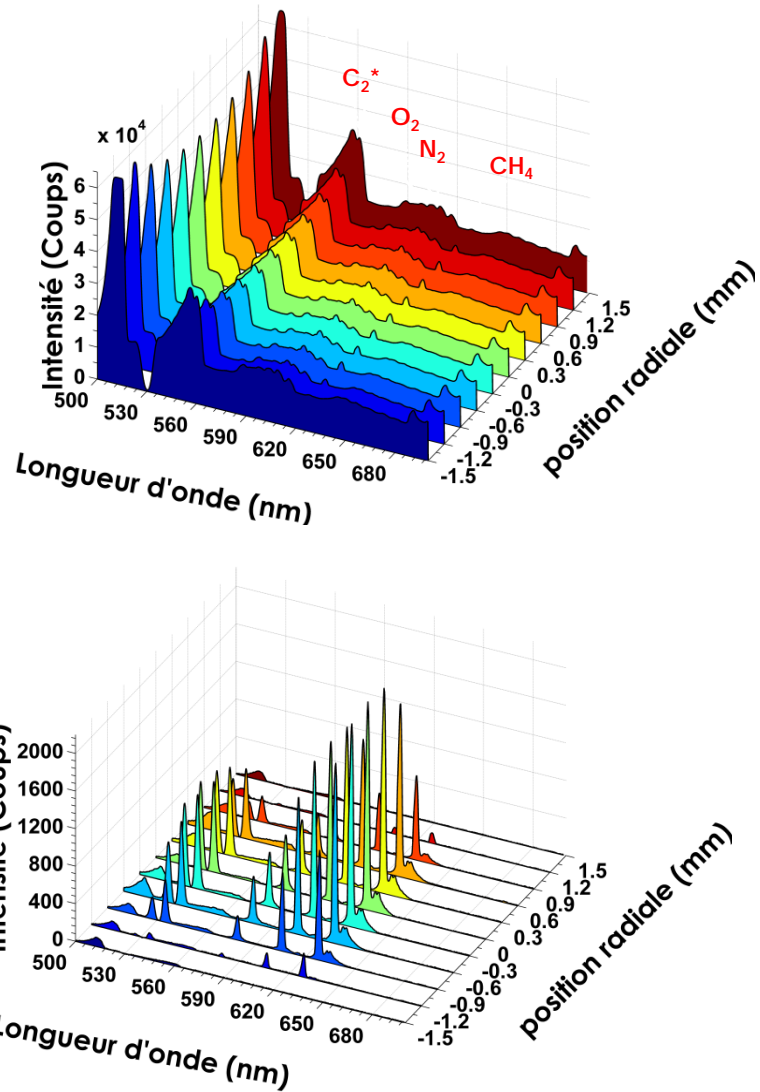
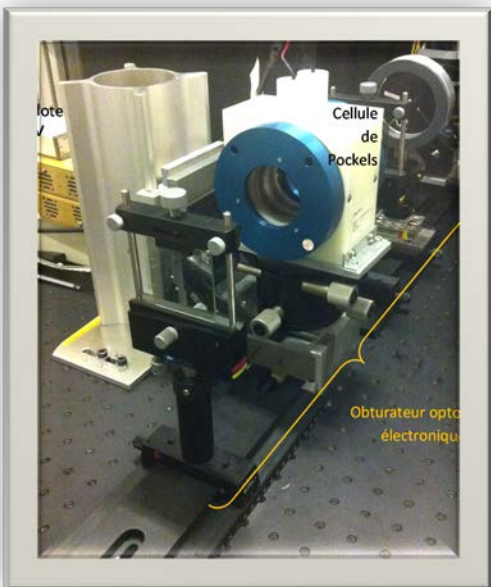


Impose fast shutter



Obturation pour les caméras rétro-éclairées

- Obturateur opto-électronique
 - Cellule de Pockels entre deux polariseurs croisées

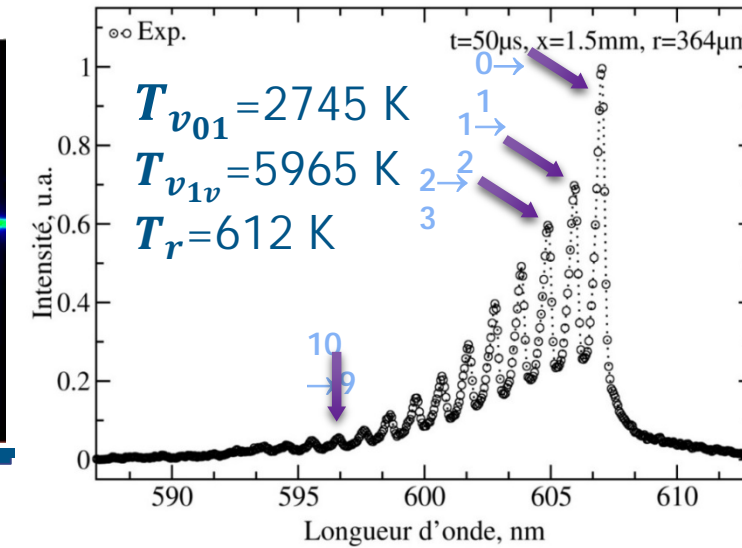
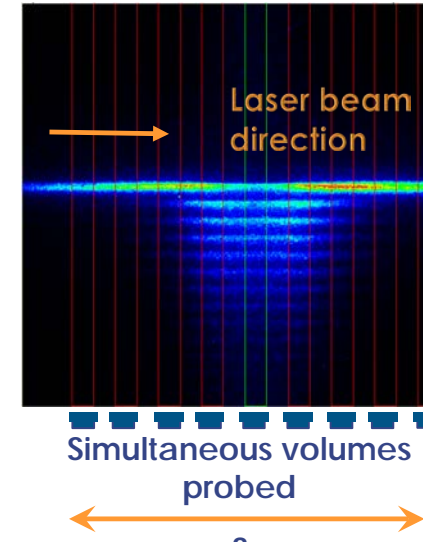
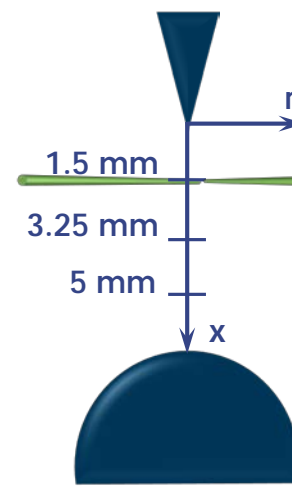


Ajrouche et al, 2015



Décharge nanoseconde

INTEREST FOR INVESTIGATION OF AIR DISCHARGE



Lo et al.
Appl. Phys B(2012)

The interest of SRS is to provide :

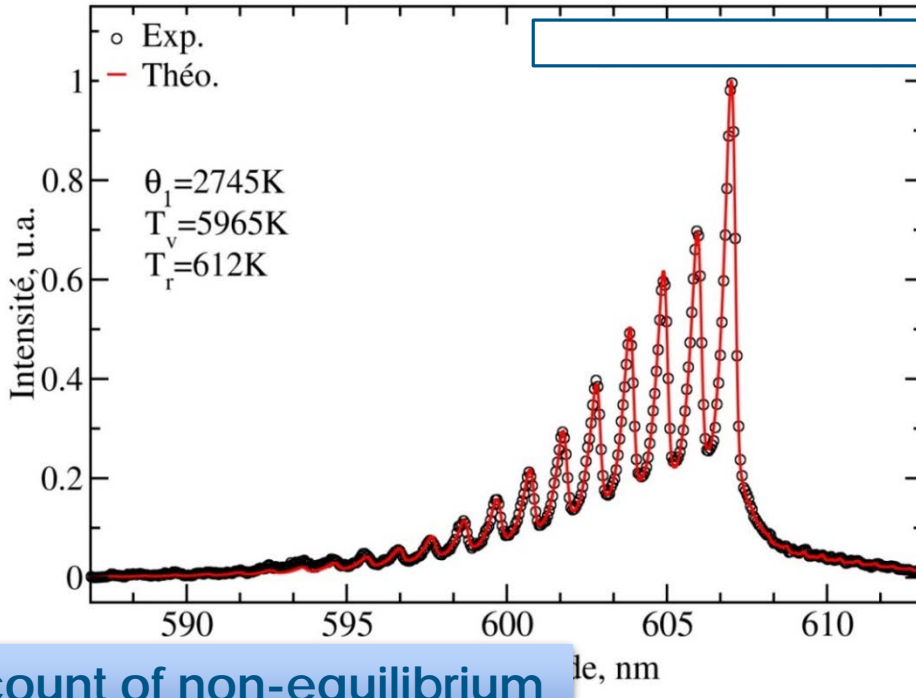
Linewise measurements : 1D profiles without scanning

Good spatial resolution : <200 μm along r

To probe many vibrational levels simultaneously

Measurement of the vib. population up to v=16

INTEREST FOR INVESTIGATION OF AIR DISCHARGE



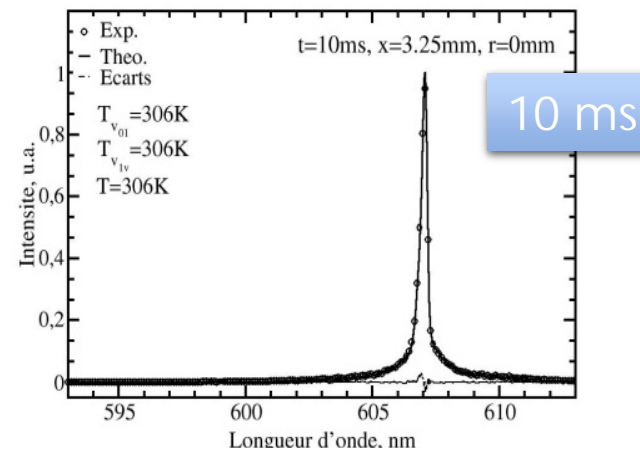
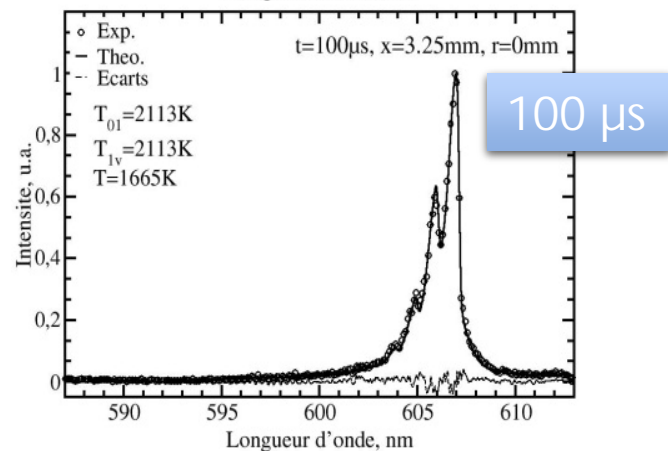
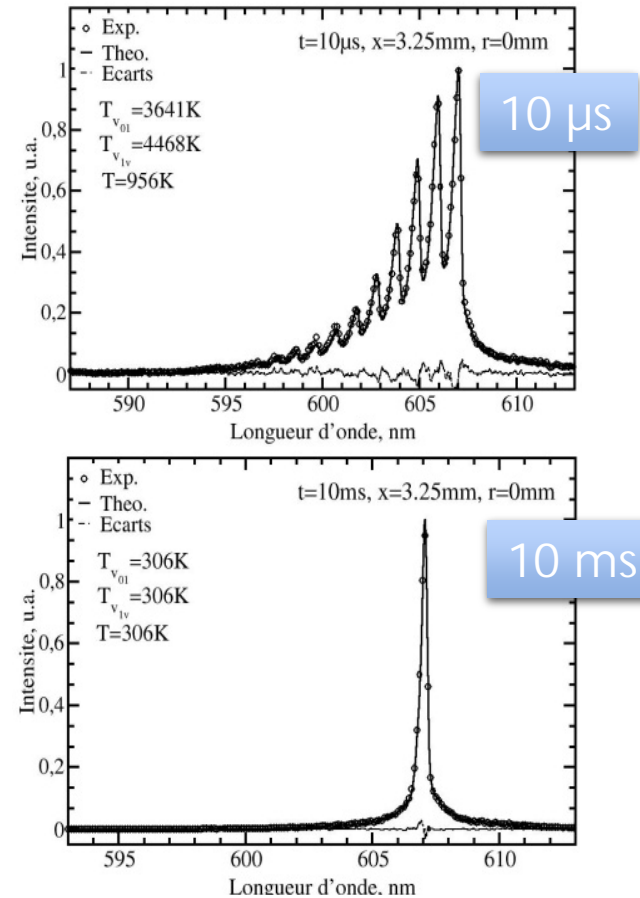
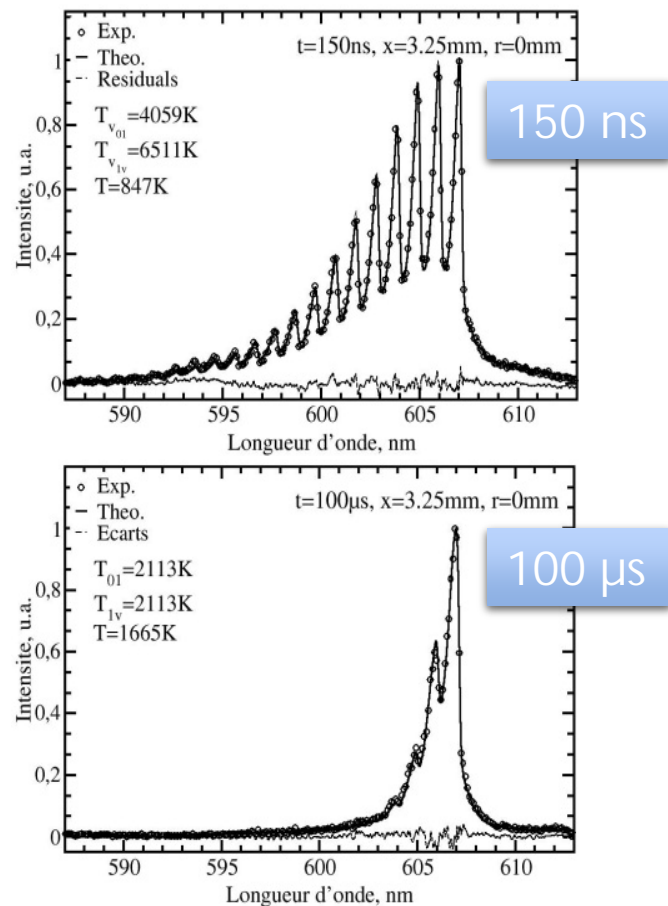
Lo et al.
Appl. Phys B(2012)

Taking into account of non-equilibrium

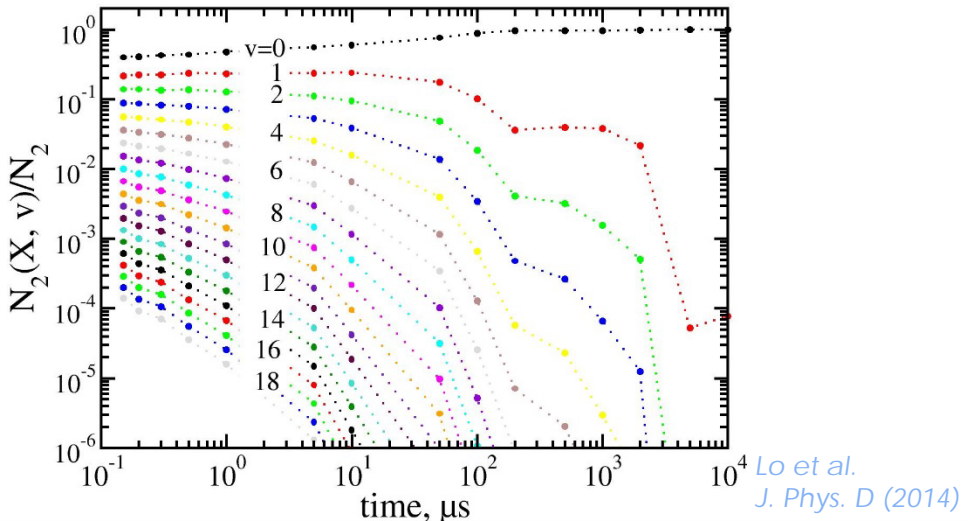
- 3 temperatures to describe the energetic state of $\text{N}_2(\text{X})$
 - T_{rot} : rotational temperature = T
 - Available from our experimental procedure despite the moderate spectral resolution
 - $T_{v_{01}}$ relative to population of $v=0$ and $v=1$
 - Measurement of the vib. population up to $v=16$
 - $T_{v_{1v}}$ Boltzmann distribution for $v \geq 1$
- Two vibrational temperatures resulting
for competition between V-T, V-V
exchanges
and e⁻ energy distribution function

N_2 RAMAN SPECTRA

Examples of $N_2(X)$ spectra for ns-discharge in air
Averaged over 2000 shots



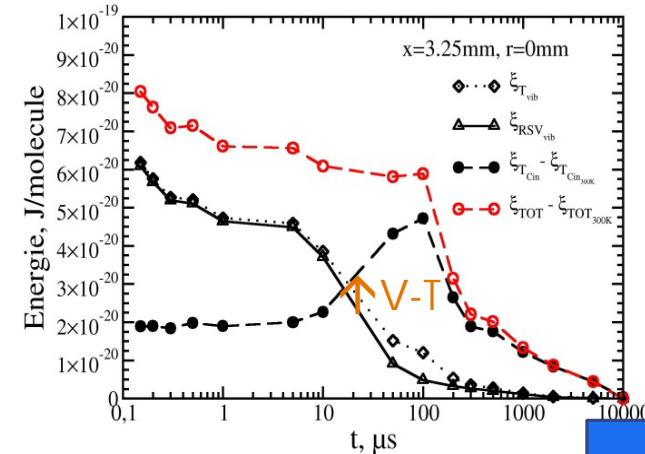
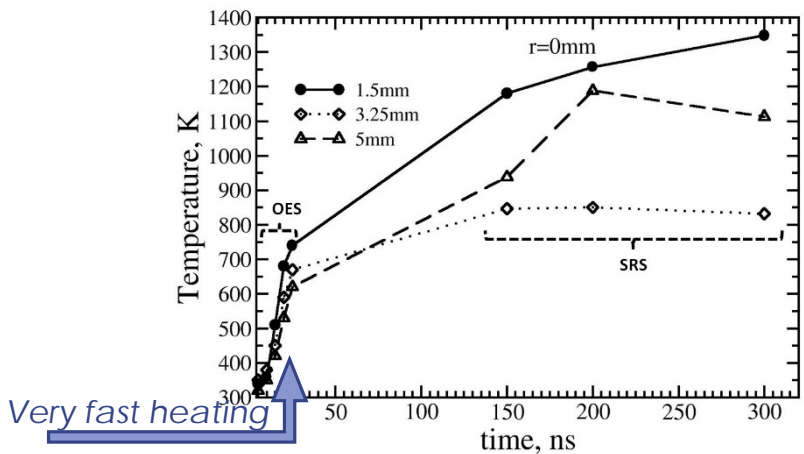
LO et al, J. Phys. D: Appl. Phys., 47 (2014) 115201



Spectrum modeling providing complete VDF described by 3 temperatures

QUANTITATIVE CHARACTERIZATION OF ENERGY DEPOSITION

- SRS combined with emission spectroscopy
 - ▶ very fast heating and time relaxation of the energy deposition
Most of energy transfer to gas



- Quantification of energy on each mode of storage

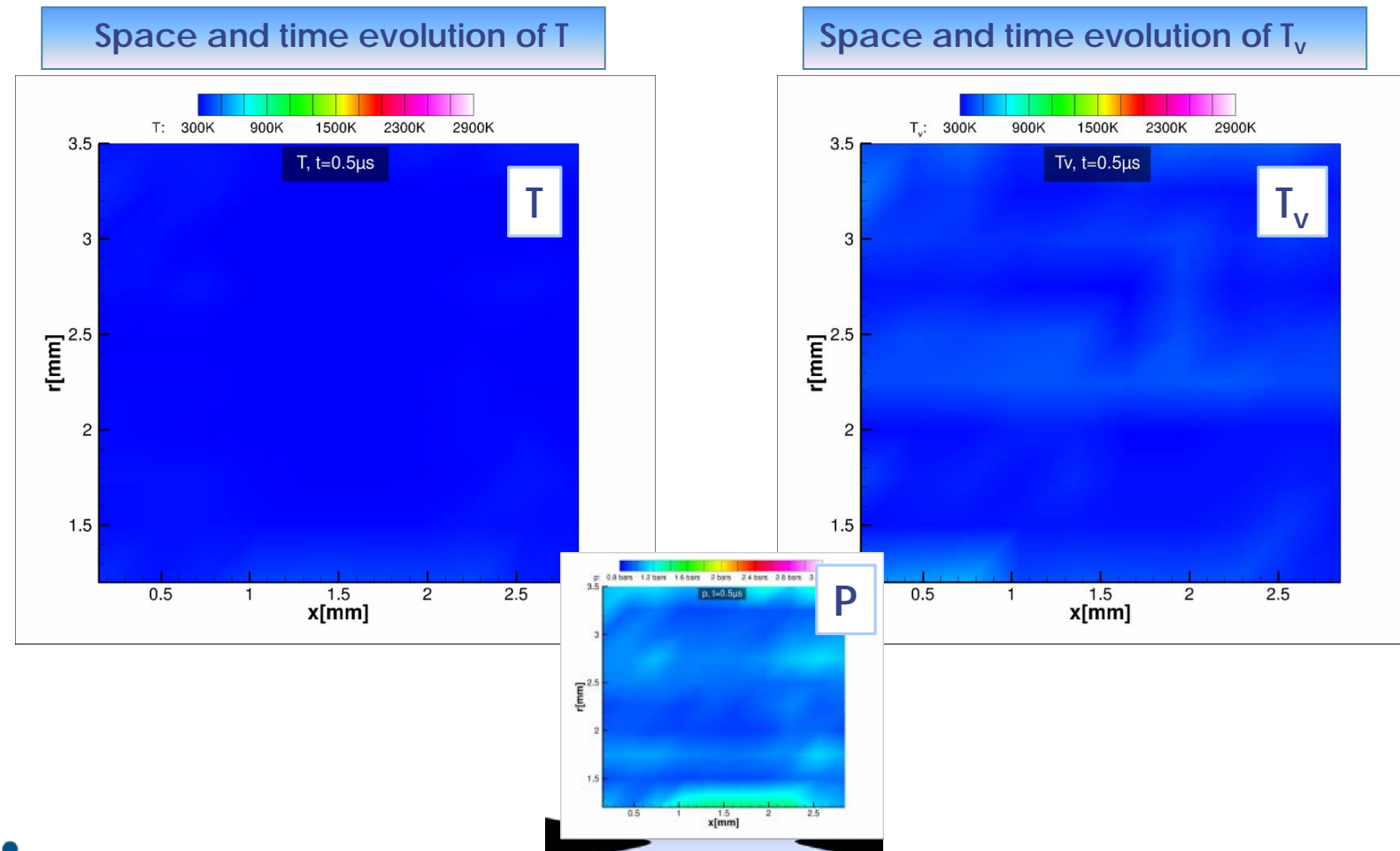
■ For N₂

- 150ns : 75% of energy in vibration
- 150ns -10μs: no transfer
- 10μs-100μs: V-T transfer
- After 200 μs : relaxation

Energy	N ₂	O ₂	Total
$E_{Tot}^i(150\text{ ns})$	12.50 mJ @ 62.5%	5.00 mJ @ 25%	17.50 mJ @ 87.5%
$E_{T_{vib}}^i(150\text{ ns})$	9.50 mJ @ 47.5%	0.27 mJ @ 1.4%	9.77 mJ @ 48.9%
$E_{T_{Cin}}^i(150\text{ ns})$	3.00 mJ @ 15%	0.73 mJ @ 3.7%	3.73 mJ @ 18.7%
$E_{Tot}^{dis}(150\text{ ns})$	—	4.00 mJ @ 20%	4.00 mJ @ 20%

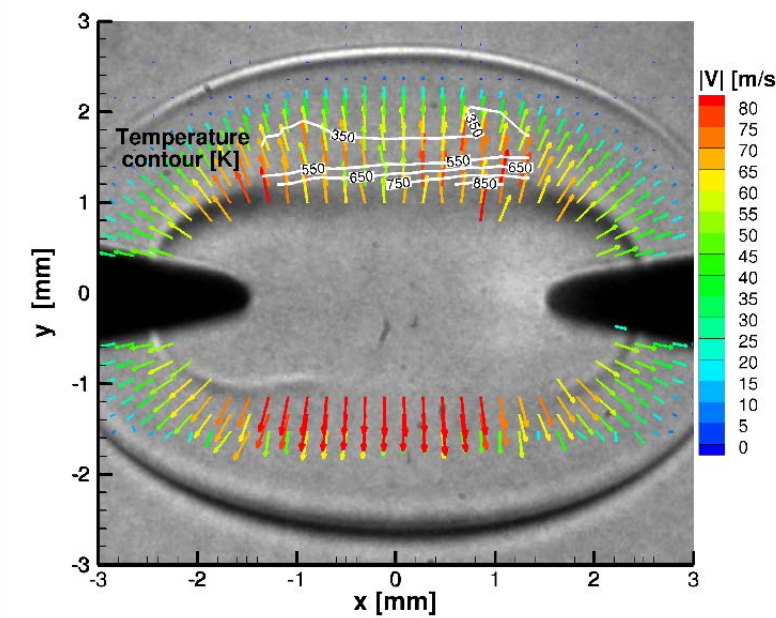
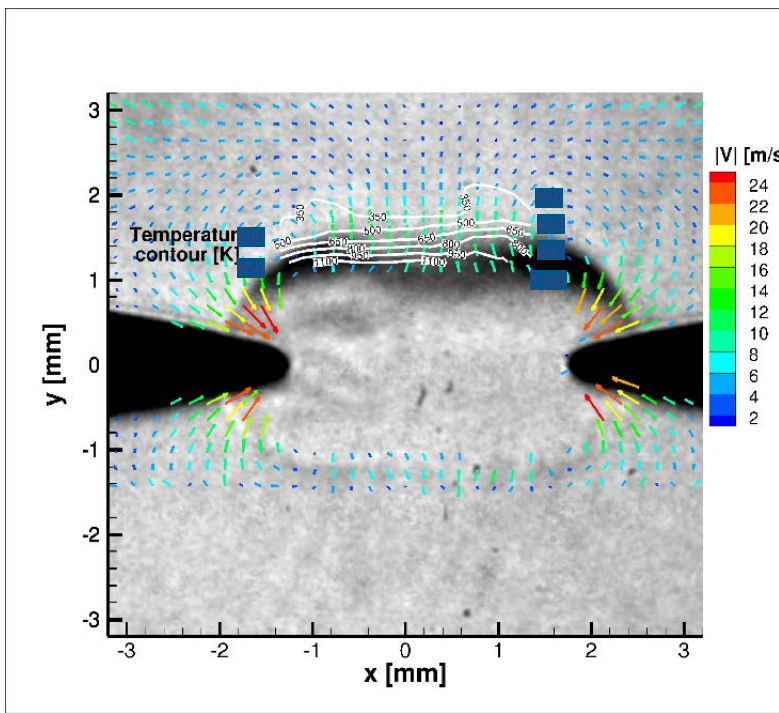
ANALYSE SPATIO-TEMPORELLE : EXEMPLE NS SPARK

T and T_v in the surrounding of the spark reconstruction par les profils 1D phasés



HYDRODYNAMIC EFFECTS

SRS combined with other diagnostics

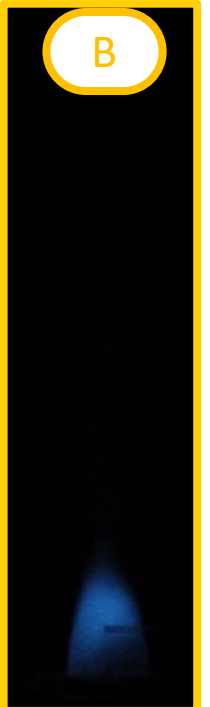


EM2C's Schlieren images

Combustion Assistée par plasma



stable flame



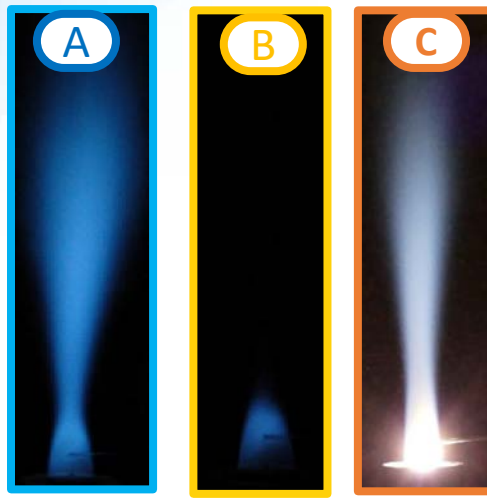
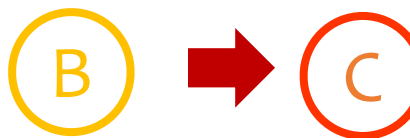
RZ flame



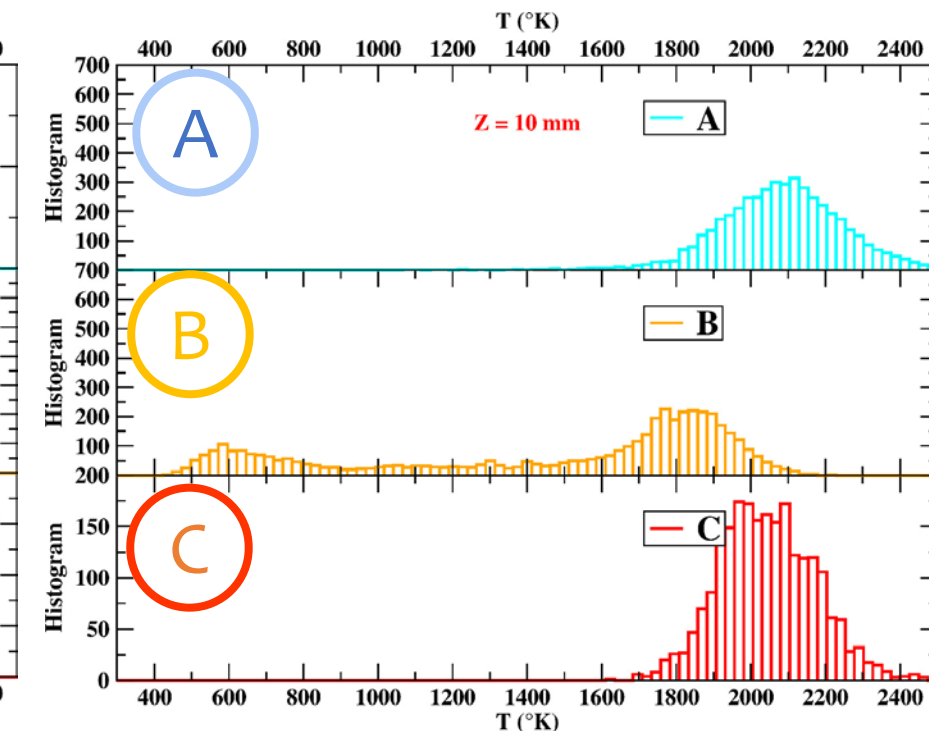
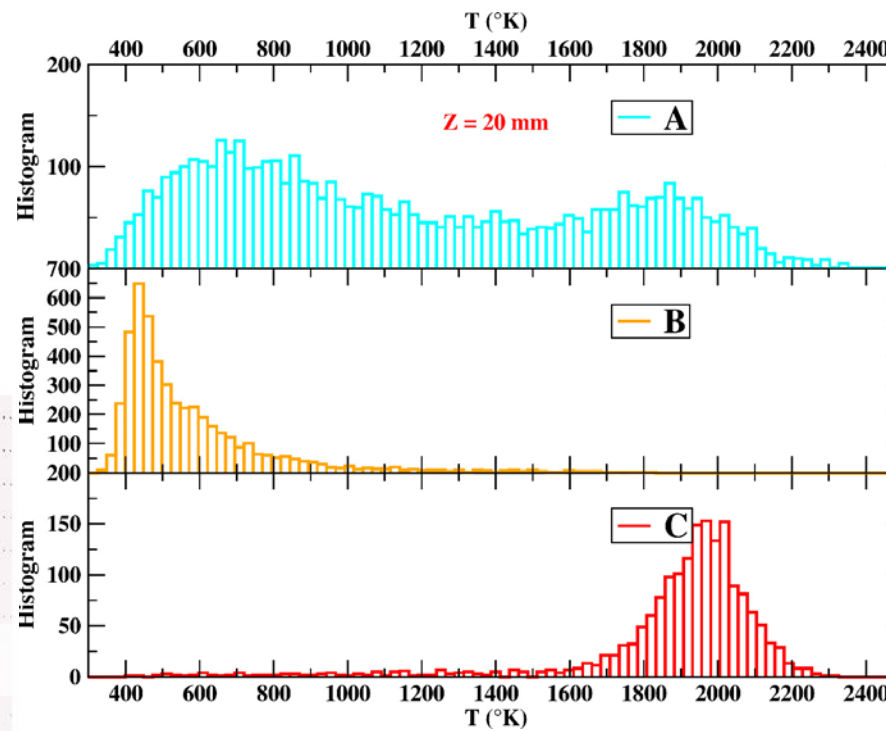
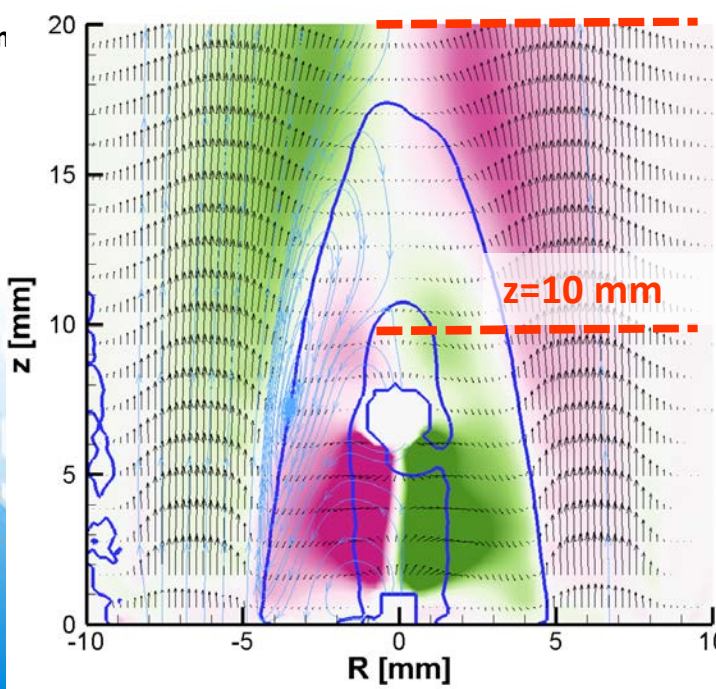
RZ flame
+NRP



EFFECT OF THE DISCHARGE



$z=20 \text{ mm}$



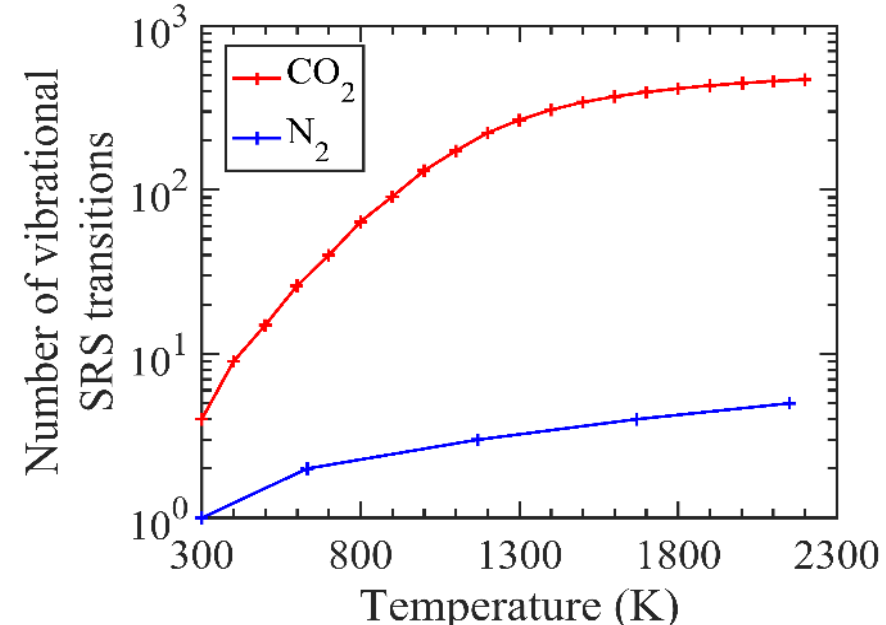
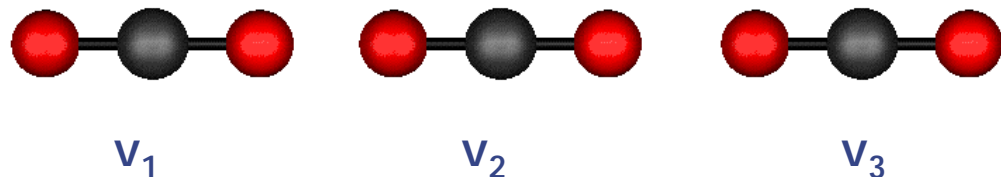
EXCITATION VIBRATIONNELLE DU CO₂

difficulties?

Number of transitions

Confidence of spectroscopic data

Fermi resonance at high temperature



Hot temperature vibrational data base

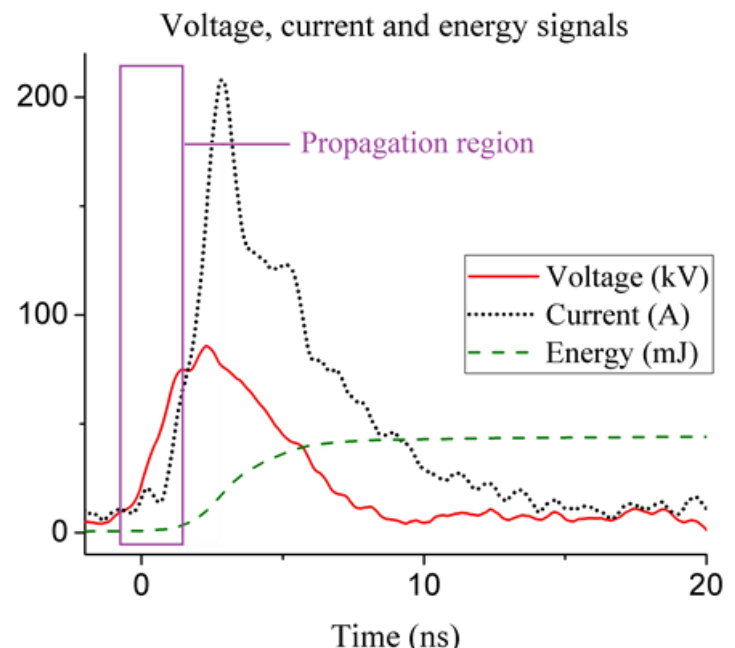
R. Lemus, et al(2014) J. Chem. Phys, 141

892 pure vibrational SRS transitions between 1100 and 1500 cm⁻¹, involving energy levels up to 15 000 cm⁻¹

VIBRATIONAL CO₂ SRS FOR NS-DISCHARGE ANALYSIS

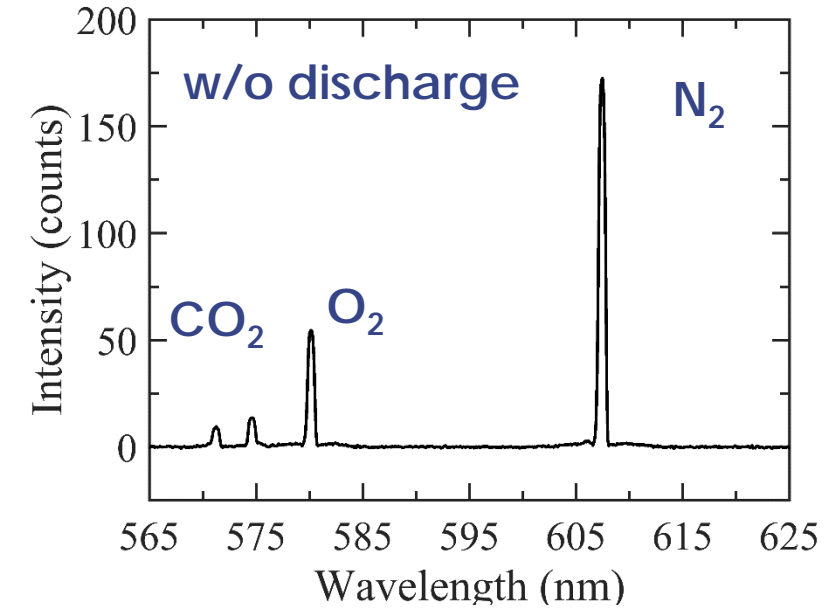
Air doped with 4% of CO₂

- Pin to plane discharge
- HV=85kV
- gap=18mm
- Total pulse duration: 10ns (FWHM=6ns)

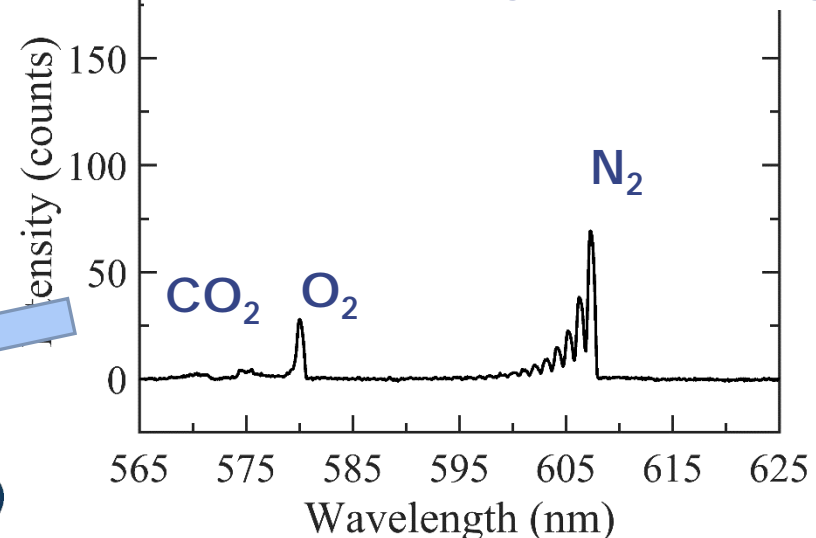


Brisset, Tardiveau, GRC 2018

$$\begin{aligned}T_r &= 671 \text{ K} \\N_2 & \quad T_{v01} = 2583 \text{ K} \\& \quad T_{v1v} = 4037 \text{ K}\end{aligned}$$

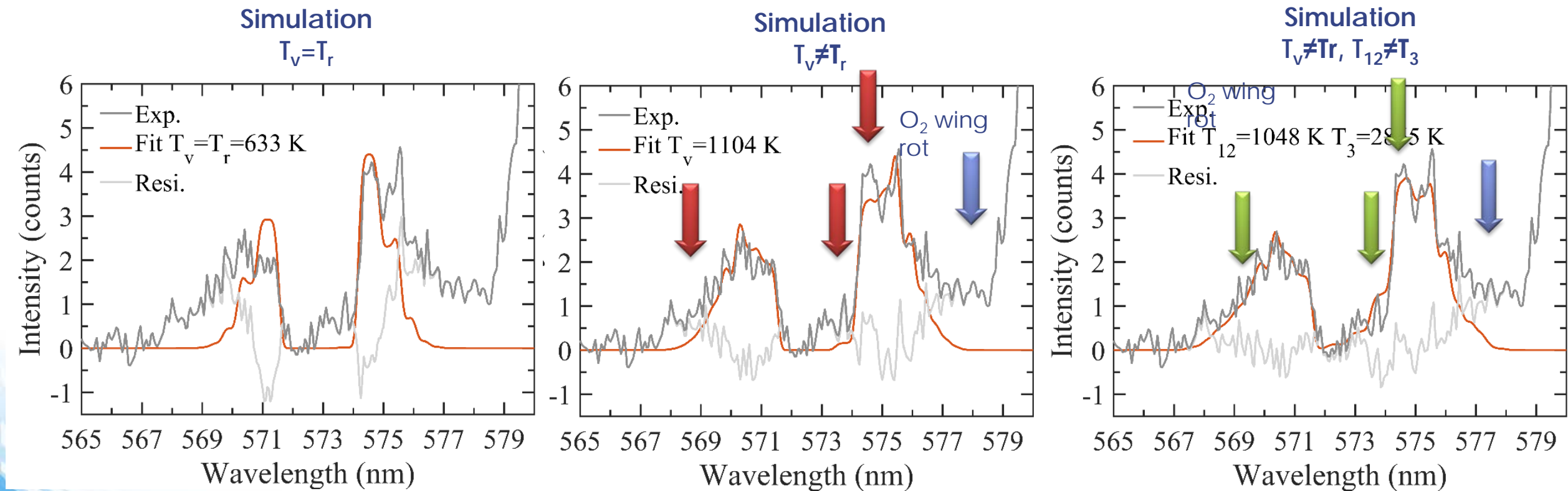


500 ns following the discharge



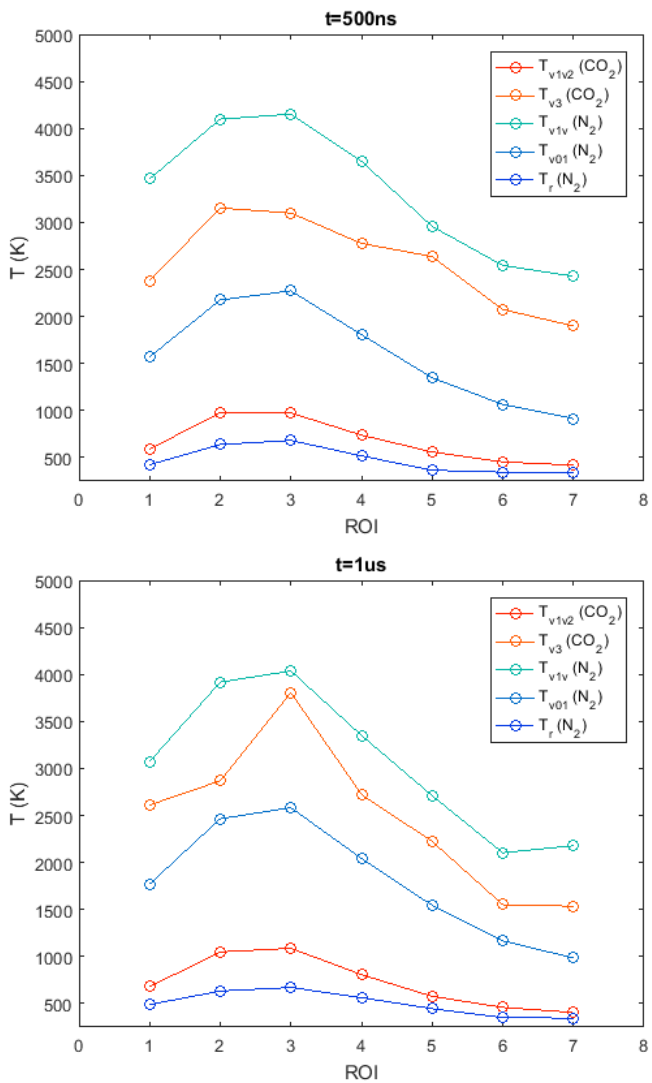
HORS ÉQUILIBRE DU SPRECTRE DE CO₂

$$f(E(1,2,1)) \propto \exp\left(-\frac{hc.E(1,2,0)}{kT_{12}}\right) * \exp\left(-\frac{hc.E(0,0,1)}{kT_3}\right)$$

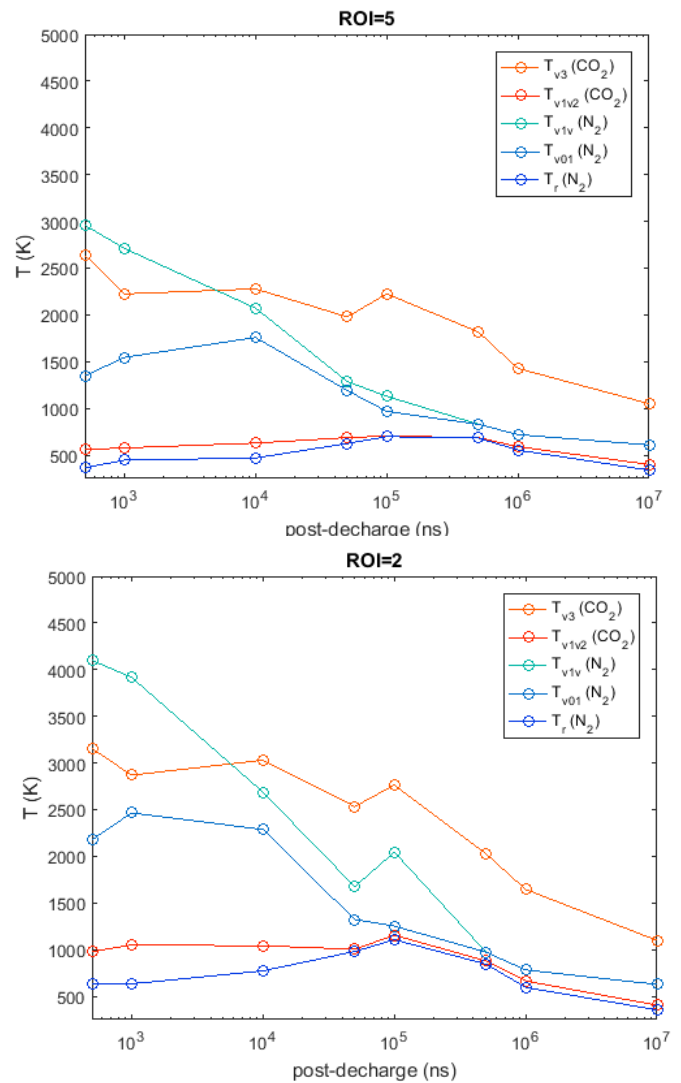


ANALYSE SPATIO-TEMPORELLE

Radial profiles



Axial time evolution



CONCLUSION

CONCLUSION

Diffusion Raman spontanée :
un diagnostic à revisiter

En combustion, en plasma, les 2 à la fois

pour les plasmas hors équilibre : mesure simultanée T et températures vibrationnelles

mesure à Pa ou plus

mesure 1D : information spatio-temporelle

moyenne de phase possible

Intérêt pour les enjeux de la transition énergétique

Combustion turbulente : nouveaux combustibles « défossilisés » en combustion aérobie, en oxycombustion diluée au CO₂ , hydrogène

Combustion assistée par plasma

Valorisation du CO₂ : catalyse, catalyse assistée par plasma

SIMULTANEOUS T AND MULTISPECIES CONCENTRATION

